



**UNIVERSIDADE FEDERAL DO MARANHÃO
CENTRO DE CIÊNCIAS EXATAS E TECNOLOGIAS
DEPARTAMENTO DE ENGENHARIA ELÉTRICA
MÉTODOS NUMÉRICOS E OTIMIZAÇÃO**

Projeto Computacional:

**Solução de Sistemas Não-Lineares via Métodos de Newton-Raphson e
Quasi-Newton Usando o MATLAB®**

Antonio Gabriel Sousa Borralho
Arthur Monteiro Costa Silva
Cesar Eugenio Cunha de Carvalho
Evelyn Cristina de Oliveira Lima
Gilberto Balby Araujo Filho
Lucas Costa Soares

**São Luís, MA - Brasil
10 de julho de 2018**

Antonio Gabriel Sousa Borralho
Arthur Monteiro Costa Silva
Cesar Eugenio Cunha de Carvalho
Evelyn Cristina de Oliveira Lima
Gilberto Balby Araujo Filho
Lucas Costa Soares

Projeto Computacional:
Solução de Sistemas Não-Lineares via Métodos de
Newton-Raphson e Quasi-Newton Usando o MATLAB®

Trabalho referente ao desenvolvimento de um projeto computacional para obtenção da terceira nota da disciplina Métodos Numéricos e Otimização no período de 2018.1.

Prof. Anselmo Barbosa Rodrigues.

São Luís, MA - Brasil
10 de julho de 2018

Sumário

1	INTRODUÇÃO	4
1.1	Solução de sistemas lineares	4
1.2	Eliminação de Gauss	5
1.2.1	Eliminação gaussiana com pivotamento parcial	7
1.3	Sistemas triangulares	8
1.4	Gauss-LU	8
1.4.1	Custo computacional para solução de um sistema linear usando Gauss-LU	10
1.4.2	Custo computacional para resolver m sistemas lineares	11
2	MÉTODOS ITERATIVOS PARA SISTEMAS LINEARES	12
2.1	Método de Newton-Raphson	12
2.1.1	Interpretação geométrica	13
2.1.2	Análise de convergência	14
2.2	Método Quasi-Newton	16
3	RESULTADOS	18
3.1	O grau e o padrão de esparsidade da matriz jacobiana	18
3.1.1	GRAU DE ESPARSIDADE	18
3.2	Solução do sistema de Broyden - primeiro caso	19
3.2.1	Para $p = 5$:	19
3.2.2	Para $p = 10$:	19
3.2.3	Para $p = 20$:	20
3.3	Solução do sistema de Broyden - segundo caso	21
3.4	Comparação dos resultados com o MATLAB®	23
3.5	Avaliação do custo computacional	26
4	CONCLUSÕES	27
	REFERÊNCIAS	28
	APÊNDICES	29
	APÊNDICE A – CÓDIGOS FONTE	30
	Listings	30

1 Introdução

Muitos problemas da engenharia, física e matemática estão associados à solução de sistemas de equações lineares. Nesse contexto, tratamos de técnicas numéricas empregadas para obter a solução desses sistemas. Iniciamos por uma rápida revisão do método de eliminação gaussiana do ponto de vista computacional. No contexto de análise da propagação dos erros de arredondamento, introduzimos o método de eliminação gaussiana com pivotamento parcial, bem como, apresentamos o conceito de condicionamento de um sistema linear. Além disso, exploramos o conceito de complexidade de algoritmos em álgebra linear. Então, passamos a discutir sobre técnicas iterativas, mais especificamente, sobre os métodos de **Newton-Raphson** e **Quasi-Newton** para a solução de sistemas de equações não-lineares.(FRANCO, 2007).

1.1 Solução de sistemas lineares

Considere o sistema de equações lineares (escrito na forma algébrica)

$$\begin{aligned} a_{11}x_1 + a_{12}x_2 + \cdots + a_{1n}x_n &= b_1 \\ a_{21}x_1 + a_{22}x_2 + \cdots + a_{2n}x_n &= b_2 \\ &\vdots \\ a_{m1}x_1 + a_{m2}x_2 + \cdots + a_{mn}x_n &= b_m \end{aligned} \tag{1.1}$$

onde m é o número de equações e n é o número de incógnitas. Este sistema pode ser escrito na *forma matricial*

$$Ax = b \tag{1.2}$$

onde:

$$A = \begin{bmatrix} a_{11} & a_{12} & \cdots & a_{1n} \\ a_{21} & a_{22} & \cdots & a_{2n} \\ \vdots & \vdots & \ddots & \vdots \\ a_{m1} & a_{m2} & \cdots & a_{mn} \end{bmatrix}, x = \begin{bmatrix} x_1 \\ x_2 \\ \vdots \\ x_n \end{bmatrix} \text{ e } b = \begin{bmatrix} b_1 \\ b_2 \\ \vdots \\ b_m \end{bmatrix}, \tag{1.3}$$

onde A é chamada de *matriz dos coeficientes*, x de *vetor das incógnitas* e b de *vetor dos termos constantes*.

Definimos também a *matriz completa* (também chamada de *matriz estendida*) de

um sistema como $Ax = b$ como $[A|b]$, isto é

$$[A|b] = \left[\begin{array}{cccc|c} a_{11} & a_{12} & \cdots & a_{1n} & b_1 \\ a_{21} & a_{22} & \cdots & a_{2n} & b_2 \\ \vdots & \vdots & \ddots & \vdots & \vdots \\ a_{m1} & a_{m2} & \cdots & a_{mn} & b_m \end{array} \right] \quad (1.4)$$

Salvo especificado ao contrário, assumiremos ao longo deste capítulo que a matriz dos coeficientes A é uma matriz real não singular (isto é, invertível).

1.2 Eliminação de Gauss

A *eliminação gaussiana*, também conhecida como *escalonamento*, é um método para resolver sistemas lineares. Este método consiste em manipular o sistema através de determinadas operações elementares, transformando a matriz estendida do sistema em uma matriz triangular (chamada de *matriz escalonada do sistema*) (UFPB, 2018). Uma vez, triangularizado o sistema, a solução pode ser obtida via substituição regressiva (FRANCO, 2007). Naturalmente estas operações elementares devem preservar a solução do sistema e consistem em:

1. multiplicação de um linha por uma constante não nula.
2. substituição de uma linha por ela mesma somada a um múltiplo de outra linha.
3. permutação de duas linhas.

Resolva o sistema

$$\begin{aligned} x + y + z &= 1 \\ 4x + 4y + 2z &= 2 \\ 2x + y - z &= 0 \end{aligned} \quad (1.5)$$

pelo método de eliminação gaussiana. A matriz estendida do sistema é escrita como

$$\left[\begin{array}{cccc} 1 & 1 & 1 & 1 \\ 4 & 4 & 2 & 2 \\ 2 & 1 & -1 & 0 \end{array} \right] \quad (1.6)$$

No primeiro passo, subtraímos da segunda linha o quádruplo da primeira e subtraímos da terceira linha o dobro da primeira linha:

$$\left[\begin{array}{cccc} 1 & 1 & 1 & 1 \\ 0 & 0 & -2 & -2 \\ 0 & -1 & -3 & -2 \end{array} \right] \quad (1.7)$$

No segundo passo, permutamos a segunda linha com a terceira:

$$\begin{bmatrix} 1 & 1 & 1 & 1 \\ 0 & -1 & -3 & -2 \\ 0 & 0 & -2 & -2 \end{bmatrix} \quad (1.8)$$

Neste momento, a matriz já se encontra na forma triangular (chamada de *matriz escalonada do sistema*). Da terceira linha, encontramos $-2z = -2$, ou seja, $z = 1$. Substituindo na segunda equação, temos $-y - 3z = -2$, ou seja, $y = -1$ e finalmente, da primeira linha, $x + y + z = 1$, resultando em $x = 1$.

Neste Exemplo 1.2, o procedimento de eliminação gaussiana foi usado para obtermos um sistema triangular (superior) equivalente ao sistema original. Este, por sua vez, nos permitiu calcular a solução do sistema, isolando cada variável, começando da última linha (última equação), seguindo linha por linha até a primeira.

Alternativamente, podemos continuar o procedimento de eliminação gaussiana, anulando os elementos da matriz estendida acima da diagonal principal. Isto nos leva a uma matriz estendida diagonal (chamada *matriz escalonada reduzida*), na qual a solução do sistema original aparece na última coluna.

No Exemplo 1.2, usamos o procedimento de eliminação gaussiana e obtivemos

$$\underbrace{\begin{bmatrix} 1 & 1 & 1 & 1 \\ 4 & 4 & 2 & 2 \\ 2 & 1 & -1 & 0 \end{bmatrix}}_{\text{matriz estendida}} \sim \underbrace{\begin{bmatrix} 1 & 1 & 1 & 1 \\ 0 & -1 & -3 & -2 \\ 0 & 0 & -2 & -2 \end{bmatrix}}_{\text{matriz escalonada}}. \quad (1.9)$$

Agora, seguindo com o procedimento de eliminação gaussiana, buscaremos anular os elementos acima da diagonal principal. Começamos dividindo cada elemento da última linha pelo valor do elemento da sua diagonal, obtemos

$$\begin{bmatrix} 1 & 1 & 1 & 1 \\ 0 & -1 & -3 & -2 \\ 0 & 0 & 1 & 1 \end{bmatrix} \quad (1.10)$$

Então, somando da segunda linha o triplo da terceira e subtraindo da primeira a terceira linha, obtemos

$$\begin{bmatrix} 1 & 1 & 0 & 0 \\ 0 & -1 & 0 & 1 \\ 0 & 0 & 1 & 1 \end{bmatrix} \quad (1.11)$$

Fixamos, agora, na segunda linha. Dividimos esta linha pelo valor do elemento em sua diagonal, isto nos fornece

$$\begin{bmatrix} 1 & 1 & 0 & 0 \\ 0 & 1 & 0 & -1 \\ 0 & 0 & 1 & 1 \end{bmatrix} \quad (1.12)$$

Por fim, subtraímos da primeira linha a segunda, obtendo a matriz escalonada reduzida

$$\begin{bmatrix} 1 & 0 & 0 & 1 \\ 0 & 1 & 0 & -1 \\ 0 & 0 & 1 & 1 \end{bmatrix} \quad (1.13)$$

Desta matriz escalonada reduzida temos, imediatamente, $x = 1$, $y = -1$ e $z = 1$, como no Exemplo 1.2.

1.2.1 Eliminação gaussiana com pivotamento parcial

A eliminação gaussiana com *pivotamento parcial* consiste em fazer uma permutação de linhas de forma a escolher o maior pivô (em módulo) a cada passo (FRANCO, 2007).

Resolva o sistema

$$\begin{aligned} x + y + z &= 1 \\ 2x + y - z &= 0 \\ 2x + 2y + z &= 1 \end{aligned} \quad (1.14)$$

por eliminação gaussiana com pivotamento parcial. A matriz estendida do sistema é

$$\begin{aligned} \begin{bmatrix} 1 & 1 & 1 & 1 \\ 2 & 1 & -1 & 0 \\ 2 & 2 & 1 & 1 \end{bmatrix} &\sim \begin{bmatrix} 2 & 1 & -1 & 0 \\ 1 & 1 & 1 & 1 \\ 2 & 2 & 1 & 1 \end{bmatrix} \\ &\sim \begin{bmatrix} 2 & 1 & -1 & 0 \\ 0 & 1/2 & 3/2 & 1 \\ 0 & 1 & 2 & 1 \end{bmatrix} \\ &\sim \begin{bmatrix} 2 & 1 & -1 & 0 \\ 0 & 1 & 2 & 1 \\ 0 & 1/2 & 3/2 & 1 \end{bmatrix} \\ &\sim \begin{bmatrix} 2 & 1 & -1 & 0 \\ 0 & 1 & 2 & 1 \\ 0 & 0 & 1/2 & 1/2 \end{bmatrix} \end{aligned} \quad (1.15)$$

Encontramos $1/2z = 1/2$, ou seja, $z = 1$. Substituímos na segunda equação e temos $y + 2z = 1$, ou seja, $y = -1$ e, finalmente $2x + y - z = 0$, resultando em $x = 1$.

A técnica de eliminação gaussiana com pivotamento parcial ajuda a evitar a propagação dos erros de arredondamento.

1.3 Sistemas triangulares

Considere um sistema linear onde a matriz é triangular superior, ou seja,

$$\begin{bmatrix} a_{11} & a_{12} & \cdots & a_{1n} \\ 0 & a_{22} & \cdots & a_{2n} \\ \vdots & \vdots & \ddots & \vdots \\ 0 & \cdots & 0 & a_{nn} \end{bmatrix} \begin{bmatrix} x_1 \\ x_2 \\ \vdots \\ x_n \end{bmatrix} = \begin{bmatrix} b_1 \\ b_2 \\ \vdots \\ b_n \end{bmatrix} \quad (1.16)$$

tal que todos elementos abaixo da diagonal são iguais a zero.

Podemos resolver esse sistema iniciando pela última equação e isolando x_n obtemos

$$x_n = b_n / a_{nn} \quad (1.17)$$

Substituindo x_n na penúltima equação

$$a_{n-1,n-1}x_{n-1} + a_{n-1,n}x_n = b_{n-1} \quad (1.18)$$

e isolando x_{n-1} obtemos

$$x_{n-1} = (b_{n-1} - a_{n-1,n}x_n) / a_{n-1,n-1} \quad (1.19)$$

e continuando desta forma até a primeira equação obteremos

$$x_1 = (b_1 - a_{12}x_2 - \cdots - a_{1n}x_n) / a_{11}. \quad (1.20)$$

De forma geral, temos que

$$x_i = (b_i - a_{i,i+1}x_{i+1} - \cdots - a_{i,n}x_n) / a_{i,i}, \quad i = 2, \dots, n. \quad (1.21)$$

1.4 Gauss-LU

Considere um sistema linear $Ax = b$, onde a matriz A é densa¹. A fim de resolver o sistema, podemos fatorar a matriz A como o produto de uma matriz L triangular inferior e uma matriz U triangular superior, ou seja, $A = LU$ (FRANCO, 2007).

Sendo assim, o sistema pode ser reescrito da seguinte forma:

$$Ax = b \quad (1.22)$$

$$(LU)x = b \quad (1.23)$$

$$L(Ux) = b \quad (1.24)$$

$$Ly = b \quad \text{e} \quad Ux = y \quad (1.25)$$

¹ Diferentemente de uma matriz esparsa, uma matriz densa possui a maioria dos elementos diferentes de zero.

Isto significa que, ao invés de resolvermos o sistema original, podemos resolver o sistema triangular inferior $Ly = b$ e, então, o sistema triangular superior $Ux = y$, o qual nos fornece a solução de $Ax = b$.

A matriz U da fatoração² LU é a matriz obtida ao final do escalonamento da matriz A .

A matriz L é construída a partir da matriz identidade I , ao longo do escalonamento de A . Os elementos da matriz L são os múltiplos do primeiro elemento da linha de A a ser zerado dividido pelo pivô acima na mesma coluna.

Por exemplo, para zerar o primeiro elemento da segunda linha de A , calculamos

$$L_{21} = A_{21}/A_{11} \quad (1.26)$$

e fazemos

$$A_{2,:} \Leftarrow A_{2,:} - L_{21}A_{1,:} \quad (1.27)$$

Note que denotamos $A_{i,:}$ para nos referenciarmos a linha i de A . Da mesma forma, se necessário usaremos $A_{:,j}$ para nos referenciarmos a coluna j de A .

Para zerar o primeiro elemento da terceira linha de A , temos

$$L_{31} = A_{31}/A_{11} \quad (1.28)$$

e fazemos

$$A_{3,:} \Leftarrow A_{3,:} - L_{31}A_{1,:} \quad (1.29)$$

até chegarmos ao último elemento da primeira coluna de A .

Repetimos o processo para as próximas colunas, escalonando a matriz A e coletando os elementos L_{ij} abaixo da diagonal³.

Use a fatoração LU para resolver o seguinte sistema linear:

$$\begin{aligned} x_1 + x_2 + x_3 &= -2 \\ 2x_1 + x_2 - x_3 &= 1 \\ 2x_1 - x_2 + x_3 &= 3 \end{aligned} \quad (1.30)$$

² Não vamos usar pivotamento nesse primeiro exemplo.

³ Perceba que a partir da segunda coluna para calcular L_{ij} não usamos os elementos de A , mas os elementos da matriz A em processo de escalonamento

Começamos fatorando a matriz A dos coeficientes deste sistema:

$$A = \begin{bmatrix} 1 & 1 & 1 \\ 2 & 1 & -1 \\ 2 & -1 & 1 \end{bmatrix} = \underbrace{\begin{bmatrix} 1 & 0 & 0 \\ 0 & 1 & 0 \\ 0 & 0 & 1 \end{bmatrix}}_{I_{3,3}} \underbrace{\begin{bmatrix} 1 & 1 & 1 \\ 2 & 1 & -1 \\ 2 & -1 & 1 \end{bmatrix}}_A \quad (1.31)$$

$$= \begin{bmatrix} 1 & 0 & 0 \\ 2 & 1 & 0 \\ 2 & 0 & 1 \end{bmatrix} \begin{bmatrix} 1 & 1 & 1 \\ 0 & -1 & -3 \\ 0 & -3 & -1 \end{bmatrix} \quad (1.32)$$

$$= \underbrace{\begin{bmatrix} 1 & 0 & 0 \\ 2 & 1 & 0 \\ 2 & 3 & 1 \end{bmatrix}}_L \underbrace{\begin{bmatrix} 1 & 1 & 1 \\ 0 & -1 & -3 \\ 0 & 0 & 8 \end{bmatrix}}_U \quad (1.33)$$

$$(1.34)$$

Completada a fatoração LU, resolvemos, primeiramente, o sistema $Ly = b$:

$$\begin{aligned} y_1 &= -2 \\ 2y_1 + y_2 &= 1 \\ 2y_1 + 3y_2 + y_3 &= 3 \end{aligned} \quad (1.35)$$

o qual nos fornece $y_1 = -2$, $y_2 = 5$ e $y_3 = -8$. Por fim, obtemos a solução resolvendo o sistema $Ux = y$:

$$\begin{aligned} x_1 + x_2 + x_3 &= -2 \\ -x_2 - 3x_3 &= 5 \\ 8x_3 &= -8 \end{aligned} \quad (1.36)$$

o qual fornece $x_3 = -1$, $x_2 = -2$ e $x_1 = 1$.

1.4.1 Custo computacional para solução de um sistema linear usando Gauss-LU

Para calcularmos o custo computacional de um algoritmo completo, uma estratégia é separar o algoritmo em partes menores, mais fáceis de analisar.

Para resolver o sistema, devemos primeiro fatorar a matriz A nas matrizes L e U . Vimos que o custo é

$$\frac{2n^3}{3} - \frac{n^2}{2} - \frac{n}{6} \text{ flops.} \quad (1.37)$$

Depois devemos resolver os sistemas $Ly = b$ e $Ux = y$. O custo de resolver os dois sistemas é (devemos contar duas vezes)

$$2n^2 \text{ flops.} \quad (1.38)$$

Somando esses 3 custos, temos que o custo para resolver um sistema linear usando fatoração LU é

$$\frac{2n^3}{3} + \frac{3n^2}{2} - \frac{n}{6} \text{ flops.} \quad (1.39)$$

Quando n cresce, prevalesem os termos de mais alta ordem, ou seja,

$$\mathcal{O}\left(\frac{2n^3}{3} + \frac{3n^2}{2} - \frac{n}{6}\right) = \mathcal{O}\left(\frac{2n^3}{3} + \frac{3n^2}{2}\right) = \mathcal{O}\left(\frac{2n^3}{3}\right) \quad (1.40)$$

1.4.2 Custo computacional para resolver m sistemas lineares

Devemos apenas multiplicar m pelo custo de resolver um sistema linear usando fatoração LU , ou seja, o custo será

$$m\left(\frac{2n^3}{3} + \frac{3n^2}{2} - \frac{n}{6}\right) = \frac{2mn^3}{3} + \frac{3mn^2}{2} - \frac{mn}{6} \quad (1.41)$$

e com $m = n$ temos

$$\frac{2n^4}{3} + \frac{3n^3}{2} - \frac{n^2}{6}. \quad (1.42)$$

Porém, se estivermos resolvendo n sistemas com *a mesma matriz* A (e diferente lado direito \mathbf{b} para cada sistema) podemos fazer a fatoração LU uma única vez e contar apenas o custo de resolver os sistemas triangulares obtidos.

Custo para fatoração LU de A : $\frac{2n^3}{3} - \frac{n^2}{2} - \frac{n}{6}$.

Custo para resolver m sistemas triangulares inferiores: mn^2 .

Custo para resolver m sistemas triangulares superiores: mn^2 .

Somando esses custos obtemos

$$\frac{2n^3}{3} - \frac{n^2}{2} - \frac{n}{6} + 2mn^2 \quad (1.43)$$

que quando $m = n$ obtemos

$$\frac{8n^3}{3} - \frac{n^2}{2} - \frac{n}{6} \text{ flops.} \quad (1.44)$$

2 Métodos iterativos para sistemas lineares

Na seção anterior, tratamos de métodos diretos para a resolução de sistemas lineares. Em um *método direto* (por exemplo, solução via fatoração LU) obtemos uma aproximação da solução depois de realizarmos um número finito de operações (só teremos a solução ao final do processo).

Veremos nessa seção dois *métodos iterativos* básicos para obter uma aproximação para a solução de um sistema linear. Geralmente em um método iterativo, iniciamos com uma aproximação para a solução (que pode ser ruim) e vamos melhorando essa aproximação através de sucessivas iterações.

2.1 Método de Newton-Raphson

Nesta seção, apresentamos o *método de Newton-Raphson*^{1,2} para calcular o zero de funções reais de uma variável real.

Consideramos que x^* seja um zero de uma dada função $f(x)$ continuamente diferenciável, isto é, $f(x^*) = 0$. A fim de usar a iteração do ponto fixo, observamos que, equivalentemente, x^* é um ponto fixo da função:

$$g(x) = x + \alpha(x)f(x), \quad \alpha(x) \neq 0, \quad (2.1)$$

onde $\alpha(x)$ é uma função arbitrária, a qual escolheremos de forma que a iteração do ponto fixo tenha ótima taxa de convergência.

Do *teorema do ponto fixo*, a taxa de convergência é dada em função do valor absoluto da derivada de $g(x)$. Calculando a derivada temos:

$$g'(x) = 1 + \alpha(x)f'(x) + \alpha'(x)f(x). \quad (2.2)$$

No ponto $x = x^*$, temos:

$$g'(x^*) = 1 + \alpha(x^*)f'(x^*) + \alpha'(x^*)f(x^*). \quad (2.3)$$

Como $f(x^*) = 0$, temos:

$$g'(x^*) = 1 + \alpha(x^*)f'(x^*). \quad (2.4)$$

Sabemos que o processo iterativo converge tão mais rápido quanto menor for $|g'(x)|$ nas vizinhanças de x^* . Isto nos leva a escolher:

$$g'(x^*) = 0, \quad (2.5)$$

¹ Joseph Raphson, 1648 - 1715, matemático inglês.

² Também chamado apenas de método de Newton.

e, então, temos:

$$\alpha(x^*) = -\frac{1}{f'(x^*)}, \quad (2.6)$$

se $f'(x^*) \neq 0$.

A discussão acima nos motiva a introduzir o método de Newton, cujas iterações são dada por:

$$x^{(n+1)} = x^{(n)} - \frac{f(x^{(n)})}{f'(x^{(n)})}, \quad n \geq 1, \quad (2.7)$$

sendo $x^{(1)}$ uma aproximação inicial dada.

2.1.1 Interpretação geométrica

Seja uma dada função $f(x)$ conforme na Figura 1. Para tanto, escolhamos uma aproximação inicial $x^{(1)}$ e computamos:

$$x^{(2)} = x^{(1)} - \frac{f(x^{(1)})}{f'(x^{(1)})}. \quad (2.8)$$

Geometricamente, o ponto $x^{(2)}$ é a interseção da reta tangente ao gráfico da função $f(x)$ no ponto $x = x^{(1)}$ com o eixo das abscissas. Com efeito, a equação desta reta é:

$$y = f'(x^{(1)})(x - x^{(1)}) + f(x^{(1)}). \quad (2.9)$$

Assim, a interseção desta reta com o eixo das abscissas ($y = 0$) ocorre quando:

$$f'(x^{(1)})(x - x^{(1)}) + f(x^{(1)}) = 0 \Rightarrow x = x^{(1)} - \frac{f(x^{(1)})}{f'(x^{(1)})}. \quad (2.10)$$

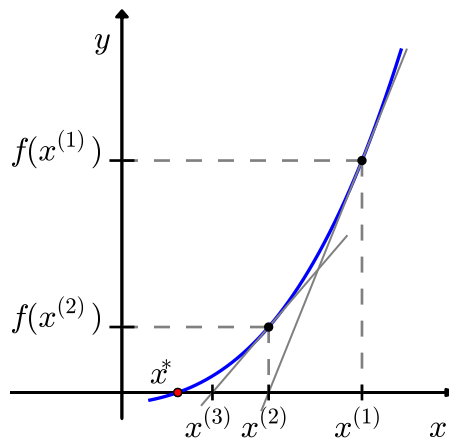


Figura 1 – Interpretação do método de Newton.

Ou seja, dada aproximação $x^{(n)}$, a próxima aproximação $x^{(n+1)}$ é o ponto de interseção entre o eixo das abscissas e a reta tangente ao gráfico da função no ponto $x = x^{(n)}$. Observe a Figura 1.

2.1.2 Análise de convergência

Seja $f(x)$ um função com derivadas primeira e segunda contínuas tal que $f(x^*) = 0$ e $f'(x^*) \neq 0$. Seja também a função $g(x)$ definida como:

$$g(x) = x - \frac{f(x)}{f'(x)}. \quad (2.11)$$

Expandimos em série de Taylor em torno de $x = x^*$, obtemos:

$$g(x) = g(x^*) + g'(x^*)(x - x^*) + \frac{g''(x^*)}{2}(x - x^*)^2 + O((x - x^*)^3). \quad (2.12)$$

Observamos que:

$$g(x^*) = x^* \quad (2.13)$$

$$g'(x^*) = 1 - \frac{f'(x^*)f'(x^*) - f(x^*)f''(x^*)}{(f'(x^*))^2} = 0 \quad (2.14)$$

Portanto:

$$g(x) = x^* + \frac{g''(x^*)}{2}(x - x^*)^2 + O((x - x^*)^3) \quad (2.15)$$

Com isso, temos:

$$x^{(n+1)} = g(x^{(n)}) = x^* + \frac{g''(x^*)}{2}(x^{(n)} - x^*)^2 + O((x - x^*)^3), \quad (2.16)$$

ou seja:

$$|x^{(n+1)} - x^*| \leq C |x^{(n)} - x^*|^2, \quad (2.17)$$

com constante $C = |g''(x^*)/2|$. Isto mostra que o método de Newton tem *taxa de convergência quadrática*. Mais precisamente, temos o seguinte teorema.

[Método de Newton] Sejam $f \in C^2([a, b])$ com $x^* \in (a, b)$ tal que $f(x^*) = 0$ e:

$$m := \min_{x \in [a, b]} |f'(x)| > 0 \quad \text{e} \quad M := \max_{x \in [a, b]} |f''(x)|. \quad (2.18)$$

Escolhendo $\rho > 0$ tal que:

$$q := \frac{M}{2m}\rho < 1, \quad (2.19)$$

definimos a *bacia de atração* do método de Newton pelo conjunto:

$$K_\rho(x^*) := \{x \in \mathbb{R}; |x - x^*| \leq \rho\} \subset [a, b]. \quad (2.20)$$

Então, para qualquer $x^{(1)} \in K_\rho(x^*)$ a iteração do método de Newton:

$$x^{(n+1)} = x^{(n)} - \frac{f(x^{(n)})}{f'(x^{(n)})}, \quad (2.21)$$

fornece uma sequência $x^{(n)}$ que converge para x^* , isto é, $x^{(n)} \rightarrow x^*$ quando $n \rightarrow \infty$. Além disso, temos a seguinte estimativa de erro *a priori*:

$$|x^{(n)} - x^*| \leq \frac{2m}{M} q^{(2^{n-1})}, \quad n \geq 2, \quad (2.22)$$

e a seguinte estimativa de erro *a posteriori*:

$$|x^{(n)} - x^*| \leq \frac{M}{2m} |x^{(n)} - x^{(n-1)}|^2, \quad n \geq 2. \quad (2.23)$$

Para $n \in \mathbb{N}$, $n \geq 2$, temos:

$$x^{n+1} - x^* = x^{(n)} - \frac{f(x^{(n)})}{f'(x^{(n)})} - x^* = -\frac{1}{f'(x^{(n)})} [f(x^{(n)}) + (x^* - x^{(n)})f'(x^{(n)})]. \quad (2.24)$$

Agora, para estimar o lado direito desta equação, usamos o polinômio de Taylor de grau 1 da função $f(x)$ em torno de $x = x^{(n)}$, isto é:

$$f(x^*) = f(x^{(n)}) + (x^* - x^{(n)})f'(x^{(n)}) + \int_{x^{(n)}}^{x^*} f''(t)(x^* - t) dt. \quad (2.25)$$

Pela mudança de variável $t = x^{(n)} + s(x^{(n)} - x^*)$, observamos que o resto deste polinômio de Taylor na forma integral é igual a:

$$R(x^*, x^{(n)}) := (x^* - x^{(n)})^2 \int_0^1 f''(x^{(n)} + s(x^* - x^{(n)})) (1 - s) ds. \quad (2.26)$$

Assim, da cota da segunda derivada de $f(x)$, temos:

$$|R(x^*, x^{(n)})| \leq M |x^* - x^{(n)}|^2 \int_0^1 (1 - s) ds = \frac{M}{2} |x^* - x^{(n)}|^2. \quad (2.27)$$

Se $x^{(n)} \in K_\rho(x^*)$, então de (2.24) e (2.27) temos:

$$|x^{(n+1)} - x^*| \leq \frac{M}{2m} |x^{(n)} - x^*|^2 \leq \frac{M}{2m} \rho^2 < \rho. \quad (2.28)$$

Isto mostra que se $x^{(n)} \in K_\rho(x^*)$, então $x^{(n+1)} \in K_\rho(x^*)$, isto é, $x^{(n)} \in K_\rho(x^*)$ para todo $n \in \mathbb{R}$.

Agora, obtemos a estimativa *a priori* de (2.1.2), pois:

$$|x^{(n)} - x^*| \leq \frac{2m}{M} \left(\frac{M}{2m} |x^{(n-1)} - x^*| \right)^2 \leq \dots \leq \frac{2m}{M} \left(\frac{M}{2m} |x^{(1)} - x^*| \right)^{2^{n-1}}. \quad (2.29)$$

Logo:

$$|x^{(n)} - x^*| \leq \frac{2m}{M} q^{2^{n-1}}, \quad (2.30)$$

donde também vemos que $x^{(n)} \rightarrow x^*$ quando $n \rightarrow \infty$, pois $q < 1$.

Por fim, para provarmos a estimativa *a posteriori* tomamos a seguinte expansão em polinômio de Taylor:

$$f(x^{(n)}) = f(x^{(n-1)}) + (x^{(n)} - x^{(n-1)})f'(x^{(n-1)}) + R(x^{(n)}, x^{(n-1)}). \quad (2.31)$$

Aqui, temos:

$$f(x^{(n-1)}) + (x^{(n)} - x^{(n-1)})f'(x^{(n-1)}) = 0 \quad (2.32)$$

e, então, conforme acima:

$$|f(x^{(n)})| = |R(x^{(n)}, x^{(n-1)})| \leq \frac{M}{2} |x^{(n)} - x^{(n-1)}|^2. \quad (2.33)$$

Com isso e do teorema do valor médio, concluímos:

$$|x^{(n)} - x^*| \leq \frac{1}{m} |f(x^{(n)}) - f(x^*)| \leq \frac{M}{2m} |x^{(n)} - x^{(n-1)}|^2. \quad (2.34)$$

Estime o raio ρ da bacia de atração $K_\rho(x^*)$ para a função $f(x) = \cos(x) - x$ restrita ao intervalo $[0, \pi/2]$. O raio da bacia de atração é tal que:

$$\rho < \frac{2m}{M} \quad (2.35)$$

onde $m := \min |f'(x)|$ e $M := \max |f''(x)|$ com o mínimo e o máximo tomados em um intervalo $[a, b]$ que contenha o zero da função $f(x)$. Aqui, por exemplo, podemos tomar $[a, b] = [0, \pi/2]$. Como, neste caso, $f'(x) = -\sin(x) - 1$, temos que $m = 1$. Também, como $f''(x) = -\cos x$, temos $M = 1$. Assim, concluímos que $\rho < 2$ (lembrando que $K_\rho(x^*) \subset [0, \pi/2]$). Ou seja, neste caso as iterações de Newton convergem para o zero de $f(x)$ para qualquer escolha da aproximação inicial $x^{(1)} \in [0, \pi/2]$.

2.2 Método Quasi-Newton

Para descrever este método, suponha que uma aproximação inicial $x^{(0)}$ seja dada para a solução p de $F(x) = 0$. Calculamos a aproximação seguinte x^1 do mesmo modo que no método de Newton, ou, se for inconveniente determinar $J(x^{(0)})$ exatamente, utilizamos as equações de diferença dadas pela Equação abaixo:

$$\frac{\partial f_j}{\partial x_k}(x^{(i)}) \approx \frac{f_j(x^{(i)} + e_k h) - f_j(x^{(i)})}{h}$$

Para aproximar as derivadas parciais. Para calcular x^2 , contudo, saímos do método de Newton e examinamos o método das Secantes para uma única equação não-linear. O método das Secantes usa a aproximação:

$$f'(x_1) \approx \frac{f(x_1) - f(x_0)}{x_1 - x_0}$$

Como uma substituição para $f'(x_1)$ no método de Newton. Para sistemas não-lineares, $x^1 - x^{(0)}$ é um vetor e o quociente correspondente não é definido. Todavia, o método prossegue analogamente quanto a substituímos na matriz $J(x^{(1)})$ no método de Newton para sistemas por uma matriz A_1 com a propriedade que:

$$A_1 (x^{(1)} - x^{(0)}) = F(x^{(1)}) - F(x^{(0)})$$

Qualquer vetor diferente de zero em \mathbb{R}^n pode ser escrito como a soma de um múltiplo de $x^1 - x^{(0)}$ com um múltiplo de um vetor no complemento ortogonal de $x^1 - x^{(0)}$. Assim, para definirmos de $x^1 - x^{(0)}$, já que nenhuma informação está disponível a respeito da variação em F em uma direção ortogonal a $x^1 - x^{(0)}$, exigimos que:

$$A_1 z = J(x^{(0)}) z, \text{ sempre que } (x^{(1)} - x^{(0)})^t z = 0.$$

Assim, qualquer vetor ortogonal a $x^1 - x^{(0)}$ não é afetado pela atualização de $J(x^{(0)})$, que foi usada para calcular x^1 , para A_1 , que foi usada na determinação de x^2 .

As condições acima definem A_1 de modo único, como:

$$A_1 = J(x^{(0)}) + \frac{[F(x^{(1)}) - F(x^{(0)}) - J(x^{(0)})(x^{(1)} - x^{(0)})](x^{(1)} - x^{(0)})^t}{\|x^{(1)} - x^{(0)}\|_2^2}$$

é esta matriz que é utilizada no lugar de $J(x^{(1)})$ para se determinar $x^{(2)}$ como:

$$x^{(2)} = x^{(1)} - A_1^{-1} F(x^{(1)}).$$

Uma vez que $x^{(2)}$ tenha sido determinado, o método é repetido para determinar $x^{(3)}$, usando A_1 no lugar de $A_0 = J(x^{(0)})$, e como $x^{(2)}$ e $x^{(1)}$ no lugar de $x^{(1)}$ e $x^{(0)}$. Em geral, uma vez que $x^{(i)}$ tenha sido determinado, $x^{(i+1)}$ é calculado por:

$$A_i = A_{i-1} + \frac{y_i - A_{i-1} s_i}{\|s_i\|_2^2} s_i^t$$

$$x^{(i+1)} = x^{(i)} - A_i^{-1} F(x^{(i)}),$$

Em que a notação $y_i = F(x^{(i)}) - F(x^{(i-1)})$ e $s_i = x^{(i)} - x^{(i-1)}$ é introduzida para simplificar as equações.

Se o método for realizado como delineado nas equações acima, a quantidade de cálculos de funções escalares ficará reduzida de $n^2 + n$ para n (aquelas necessárias para calcular $F(x^{(i)})$), mas cálculos de $O(n^3)$ ainda são necessários para resolver o sistema linear $n \times n$ associado.

$$A_i s_{i+1} = -F(x^{(i)})$$

O emprego do método nesta forma não seria justificado por causa da redução para convergência super linear a partir da convergência quadrática do método de Newton.

3 Resultados

Sobre os testes com o sistema tridiagonal de Broyden, temos os resultados para os seguintes tópicos:

3.1 O grau e o padrão de esparsidade da matriz jacobiana

O grau e o padrão de esparsidade da matriz jacobiana para $p = 1000$. Com base nestes resultados identificando se a matriz jacobiana é densa ou esparsa.

Primeiramente, iremos discutir um pouco sobre esparsidade, mostrando como se calcula seu grau e seu padrão:

3.1.1 GRAU DE ESPARSIDADE

Para calcular o grau de esparsidade, levemos em consideração que este grau é uma métrica que informa a percentagem dos elementos nulos da matriz. Daí, seja G_S grau de esparsidade. Pode-se escrever:

$$G_S = \frac{p^2 - N}{p^2}$$

Onde N é o número de elementos não-nulos e p é a ordem da matriz quadrada cujo grau de esparsidade será extraído.

Para o jacobiano do sistema de Broyden, tem-se 2 elementos não nulos na primeira e na última linha. Nas $p - 2$ linhas intermediárias, tem-se 3 elementos não nulos. Daí:

$$N = 3 \cdot (p - 2) + 4 = 3p - 2$$

Portanto,

$$G_S = \frac{p^2 - (3p - 2)}{p^2} = \frac{p^2 - 3p + 2}{p^2}$$

Para o caso particular em que $p = 1000$ tem-se:

$$G_S = \frac{1000^2 - (3 \cdot 1000 + 2)}{1000^2} \cdot 100\% = 99.7002\%$$

Desta forma, como a maior parte dos elementos do jacobiano é nula, esta matriz é esparsa.

3.2 Solução do sistema de Broyden - primeiro caso

A solução do sistema de Broyden para $p = 5, 10$ e 20 usando o Método de Newton-Raphson. Apresente o vetor solução, os valores finais de $\|F(x)\|_\infty$ e também o número de iterações realizadas.

3.2.1 Para $p = 5$:

Iterações: 3

$$\|F(x)\|_\infty = 6.6411 \times 10^{-9}$$

Vetor Solução:

$$X = \begin{bmatrix} -0.9684 \\ -1.1870 \\ -0.9590 \\ -0.5942 \end{bmatrix}. \quad (3.1)$$

3.2.2 Para $p = 10$:

Iterações: 3

$$\|F(x)\|_\infty = 6.3098 \times 10^{-7}$$

Vetor Solução:

$$X = \begin{bmatrix} -1.0301 \\ -1.3104 \\ -1.3799 \\ -1.3907 \\ -1.3796 \\ -1.3499 \\ -1.2907 \\ -1.1775 \\ -0.9675 \\ -0.5965 \end{bmatrix}. \quad (3.2)$$

3.2.3 Para $p = 20$:

Iterações: 4

$$\|F(x)\|_{\infty} = 1.8145 \times 10^{-12}$$

Vetor Solução:

$$X = \begin{bmatrix} -1.03024 \\ -1.3150 \\ -1.3887 \\ -1.4076 \\ -1.4125 \\ -1.4137 \\ -1.4139 \\ -1.4139 \\ -1.4136 \\ -1.4130 \\ -1.4119 \\ -1.4098 \\ -1.4055 \\ -1.3973 \\ -1.3813 \\ -1.3504 \\ -1.2908 \\ -1.1775 \\ -0.9675 \\ -0.5965 \end{bmatrix}. \quad (3.3)$$

3.3 Solução do sistema de Broyden - segundo caso

Para $p = 5$, foram necessário 8 iterações, sendo $\|F_x\|_\infty = 3,2873e - 007$, e encontrado a seguinte solução:

Tabela 1 – Valores de X para $p = 5$.

X	Resultado
$X(2)$	-1,1870
$X(3)$	-1,1485
$X(4)$	-0,9590
$X(5)$	-0,5942

Para $p = 10$, foram necessário 10 iterações, sendo $\|F_x\|_\infty = 6,2736e - 007$, e encontrado a seguinte solução:

Tabela 2 – Valores de X para $p = 10$.

X	Resultado
$X(1)$	-1,0301
$X(2)$	-1,3104
$X(3)$	-1,3799
$X(4)$	-1,3907
$X(5)$	-1,3796
$X(6)$	-1.3499
$X(7)$	-1.2907
$X(8)$	-1.1775
$X(9)$	-0.9675
$X(10)$	-0,5965

Para $p = 20$, foram necessário 10 iterações, sendo $\|F_x\|_\infty = 7.9266e - 007$, e encontrado a seguinte solução:

Tabela 3 – Valores de X para $p = 20$.

X	Resultado
$X(1)$	-1,0324
$X(2)$	-1,3150
$X(3)$	-1,3887
$X(4)$	-1,4076
$X(5)$	-1,4125
$X(6)$	-1,4137
$X(7)$	-1,4139
$X(8)$	-1,4138
$X(9)$	-1,4136
$X(10)$	-1,4130
$X(11)$	-1,4119
$X(12)$	-1,4098
$X(13)$	-1,4055
$X(14)$	-1,3973
$X(15)$	-1,3813
$X(16)$	-1,3504
$X(17)$	-1,2908
$X(18)$	-1,1775
$X(19)$	-0,9675
$X(20)$	-0,5965

3.4 Comparação dos resultados com o MATLAB®

Compare os resultados obtidos nas seções 2 e 3 com aqueles obtidos pela função nativa do MATLAB® para a solução de sistemas não-lineares. Apresente uma descrição resumida do método usado pela função nativa do MATLAB® para solução de sistemas não-lineares.

Nas três tabelas a baixos estão as comparações das soluções do sistema de Broyden, com quatro casas de precisão, para $p = 5, 10$ e 20 . Foram utilizados os métodos de Newton-Raphson, Newton Modificado (Quase-Newton) e a função nativa do MATLAB® `fsolve` (MATHWORKS, 1993).

A função `fsolve` é uma função nativa do MATLAB® robusta que implementa três algoritmos diferentes: trust region dogleg, trust region e Levenberg-Marquardt (MATSUMOTO, 2008). Ela possui variações de entradas, porém a utilizada foi $X = \text{fsolve}(\text{FUN}, X_0)$.

Os resultados para quatro casas de precisão e com tolerância $1 \cdot 10^{-6}$ foram os mesmos para as três tabelas. Contudo as diferenças mais acentuadas foram no número de interações, sendo a QuasiNewton nas três tabelas apresentou um numero de interações maior que o dobro das outras duas. Para os tamanhos utilizados o método de Newton-Raphson e a função `fsolve` obtiveram o mesmo número de interações. Nos algoritmos implementados também foi utilizado a `cputime` para medir o tempo. Embora o tempo não tenha se mantido constante para ser posto na tabela foi possível observar que a conseguia os resultados de forma mais rápida que o método Newton-Raphson. Em relação as normas que mostram o quanto foi preciso os cálculos. é possível observar que utilizando Newton Modificado a norma nas três tabelas foi maior que os outros dois métodos. E entre a função nativa do MATLAB® e Newton-Raphson obtiveram bons resultados, variando em qual se saiu melhor nas três tabelas.

Tabela 4 – Primeira comparação com o MATLAB®.

$p = 5$	Newton_Raphson	Quasi_Newton	<i>fsolve</i>
Solução x	$\begin{bmatrix} -0.9684 \\ -1.1870 \\ -1.1485 \\ -0.9590 \\ -0.5942 \end{bmatrix}$	$\begin{bmatrix} -0.9684 \\ -1.1870 \\ -1.1485 \\ -0.9590 \\ -0.5942 \end{bmatrix}$	$\begin{bmatrix} -0.9684 \\ -1.1870 \\ -1.1485 \\ -0.9590 \\ -0.5942 \end{bmatrix}$
Nº de iterações	3	9	3
Solução inicial	$-\text{ones}(5, 1)$	$-\text{ones}(5, 1)$	$-\text{ones}(5, 1)$
Tolerância	$1 \cdot 10^{-6}$	$1 \cdot 10^{-6}$	$1 \cdot 10^{-6}$
$\ F(x)\ _{\infty}$	$6,6411 \cdot 10^{-9}$	$3,3131 \cdot 10^{-7}$	$6.6392 \cdot 10^{-9}$

Tabela 5 – Segunda comparação com o MATLAB®.

$p = 10$	Newton_Raphson	Quasi_Newton	<i>fsolve</i>
Solução x	$\begin{bmatrix} -1.0301 \\ -1.3104 \\ -1.3799 \\ -1.3907 \\ -1.3796 \\ -1.3499 \\ -1.2907 \\ -1.1775 \\ -0.9675 \\ -0.5965 \end{bmatrix}$	$\begin{bmatrix} -1.0301 \\ -1.3104 \\ -1.3799 \\ -1.3907 \\ -1.3796 \\ -1.3499 \\ -1.2907 \\ -1.1775 \\ -0.9675 \\ -0.5965 \end{bmatrix}$	$\begin{bmatrix} -1.0301 \\ -1.3104 \\ -1.3799 \\ -1.3907 \\ -1.3796 \\ -1.3499 \\ -1.2907 \\ -1.1775 \\ -0.9675 \\ -0.5965 \end{bmatrix}$
Nº de iterações	3	10	3
Solução inicial	$-\text{ones}(10, 1)$	$-\text{ones}(10, 1)$	$-\text{ones}(10, 1)$
Tolerância	1.10^{-6}	1.10^{-6}	1.10^{-6}
$\ F(x)\ _\infty$	$6,3098 \cdot 10^{-7}$	$1.9219 \cdot 10^{-7}$	$3.0453 \cdot 10^{-8}$

Tabela 6 – Terceira comparação com o MATLAB®.

$p = 20$	Newton_Raphson	Quasi_Newton	<i>fsolve</i>
Solução x	$\begin{bmatrix} -1.0324 \\ -1.3150 \\ -1.3887 \\ -1.4076 \\ -1.4125 \\ -1.4137 \\ -1.4139 \\ -1.4139 \\ -1.4136 \\ -1.4130 \\ -1.4119 \\ -1.4098 \\ -1.4055 \\ -1.3973 \\ -1.3813 \\ -1.3504 \\ -1.2908 \\ -1.1775 \\ -0.9675 \\ -0.5965 \end{bmatrix}$	$\begin{bmatrix} -1.0324 \\ -1.3150 \\ -1.3887 \\ -1.4076 \\ -1.4125 \\ -1.4137 \\ -1.4139 \\ -1.4139 \\ -1.4136 \\ -1.4130 \\ -1.4119 \\ -1.4098 \\ -1.4055 \\ -1.3973 \\ -1.3813 \\ -1.3504 \\ -1.2908 \\ -1.1775 \\ -0.9675 \\ -0.5965 \end{bmatrix}$	$\begin{bmatrix} -1.0324 \\ -1.3150 \\ -1.3887 \\ -1.4076 \\ -1.4125 \\ -1.4137 \\ -1.4139 \\ -1.4139 \\ -1.4136 \\ -1.4130 \\ -1.4119 \\ -1.4098 \\ -1.4055 \\ -1.3973 \\ -1.3813 \\ -1.3504 \\ -1.2908 \\ -1.1775 \\ -0.9675 \\ -0.5965 \end{bmatrix}$
Nº de iterações	4	10	4
Solução inicial	$-\text{ones}(20, 1)$	$-\text{ones}(20, 1)$	$-\text{ones}(20, 1)$
Tolerância	1.10^{-6}	1.10^{-6}	1.10^{-6}
$\ F(x)\ _\infty$	$1.8145 \cdot 10^{-12}$	7.926610^{-7}	$8.5744 \cdot 10^{-10}$

3.5 Avaliação do custo computacional

Avaliação do custo computacional (tempo de processamento) para o obter a solução do sistema de broyden com $p = 1000$ para os seguintes métodos: método de Newton-Raphson, método de Newton modificado e o método usado pela função nativa do MATLAB®.

Na tabela, são computados os tempos de processamento de cada um dos métodos e da função *fsolve* (MATHWORKS, 2018), onde notamos um contrabalanceamento por parte do método de Quasi-Newton, que obteve um tempo de processamento muito menor que do método de Newton-Raphson, devido a maior complexidade deste. Apesar da função *fsolve* também ser implementada de forma complexa, seu tempo de processamento foi bem próximo ao do método de Quasi-Newton, pois *fsolve* resolveu o sistema através do método *trust-region dogleg*.

$P = 1000$	Tempo de Processamento (segundos)
Newton-Raphson	130.4324
Quase-Newton	42.2919
<i>fsolve</i>	4.2276

Para entender como a função nativa é tão mais rápida quanto a Newton-Raphson e Quase-Newton, basta entender que a solução que o MATLAB® impõe. Isto é, mescla-se o método de mínimos quadrados para adaptar e reduzir a função por uma menor, além de usar série de Taylor também para manipular a função e ocasionar novas aproximações e o método de gradiente.

Toda esta adaptação é para que o MATLAB® convirja os cálculos para algo matricial. A adaptação final da aproximação para uma dada função $F_i(x) = 0$ com todas as técnicas de minimização, resultando em $\min\{\frac{1}{2}s^T H s + s^T g \text{ such that } \|Ds\| \leq \Delta\}$ onde H é a matriz Hessiana, g é o gradiente da função e D a matriz diagonal, Δ é um valor numérico escalar. Ademais, é utilizado os autovalores e autovetores da função $F_i(x)$ definida na forma matricial. Concluindo, então, usando o próprio método de Newton.

O MATLAB®, portanto, através do *fsolve* consegue misturar métodos de funções não lineares (método de Newton) com os métodos lineares (gradientes e uso de autovalores e autovetores, diagonalização de matriz, etc.). Tanto o método de Newton-Raphson quanto de Broyden apresentam uma complexidade superior à $O(n^2)$. Isso porque além dos laços para varrimento de linhas e colunas, apresentam lógicas de condições dentro destes, acarretando numa lentidão natural por parte do MATLAB®. Entretanto, evita-se o tratamento do método com matrizes inversas cujo custo poderia ser ainda maior. O mesmo pensamento de vetorização e tratamento matricial do código diminuí o custo computacional.

4 Conclusões

A aprendizagem e o domínio dos métodos de Newton-Raphson e Quasi-Newton são de grande importância para determinar com eficiência a resolução de problemas que envolvam a solução de sistemas não lineares. O método de Newton-Raphson apresenta convergência do processo iterativo mais rápida. Isso o torna mais vantajoso em relação aos métodos anteriormente estudados. O método de Newton modificado tem a vantagem de calcular uma única vez a matriz Jacobiana. No caso de resolver por fatoração LU, os fatores L e U serão calculados uma única vez. Esse método se mostrou ineficaz para sistemas com $p \geq 10$. Por isso foi implementado o método de Quasi-Newton proposto por Broyden. É importante destacar que a ferramenta MATLAB[®] foi de grande auxílio na resolução dos problemas propostos porém estes métodos podem ser implementado de forma semelhante em outras linguagens como *C++*, *Julia*, *Phyton*, entre outras. Como o programa foi dividido em funções, a resolução da matriz jacobiana e o cálculo das normas foram feitas de forma satisfatória, bem como o sistema de equações não-lineares testadas no sistema tridiagonal de Broyden. Na grande maioria das resoluções de sistemas não-lineares o método de Quasi-Newton pode assim apresentar um melhor desempenho.

Referências

FRANCO, N. M. B. *Cálculo Numérico*. 10. ed. São Paulo: Pearson, 2007. Citado 4 vezes nas páginas 4, 5, 7 e 8.

MATHWORKS. *Equation Solving Algorithms*. 2018. Disponível em: <<https://www.mathworks.com/help/optim/ug/equation-solving-algorithms.html>>. Acesso em: 26 jun 2018. Citado na página 26.

MATHWORKS, I. T. *Matlab Reference Guide: High-Performance Numeric Computation and Visualization Software*. 2. ed. Massachusetts, USA: The MathWorks, Inc, 1993. Citado na página 23.

MATSUMOTO Élia Y. *Matlab 7: Fundamentos*. 2. ed. São Paulo: Érica, 2008. Citado na página 23.

UFPB. *Servidor online da Produção Virtual da UFPB - Cálculo Numérico*. 2018. Disponível em: <<http://producao.virtual.ufpb.br/books/reamat/CalculoNumerico/>>. Acesso em: 25 jun 2018. Citado na página 5.

Apêndices

APÊNDICE A – Códigos Fonte

Listings

A.1	BroydenFunção	31
A.2	Função Norm-inf	31
A.3	Função Jacobian	32
A.4	Função Jacobian-Broyden	33
A.5	Função LUGauss-Fac	34
A.6	Função Mult	35
A.7	Função LUGauss-Sol	36
A.8	Função main	37
A.9	Função mainQuasiNewton	39
A.10	Newton-Raphson	40
A.11	Função Quasi2	41
A.12	Função Sub	42
A.13	Função Sum-Mat	43
A.14	Função Transp	43

A seguir temos os códigos fonte feito neste trabalho:

```
1 function [F] = broyden(x)
2
3 n = length(x); %Definição da ordem do sistema tridiagonal de
   Broyden
4 if(n == 1)
5     disp('O sistema tridiagonal de Broyden não está definido
        para ordem unitária!');
6 return
7 end
8 F = zeros(n,1); %Alocação de memória
9
10 %Definição do sistema
11 F(1) = x(1)*(3-.5*x(1))-2*x(2)+1;
12 for i = 2:n-1
13     F(i) = x(i)*(3-.5*x(i))-x(i-1)-2*x(i+1)+1;
14 end
15 F(n) = x(n)*(3-.5*x(n))-x(n-1)+1;
16 end
```

Listing A.1 – BroydenFunção

```
1 function [B] = norm_inf(x)
2
3 B = max(abs(x));
4 end
```

Listing A.2 – Função Norm-inf

```
1 function [J] = jacobian(x)
2 %Retorna o Jacobino do Sistema Tridiagonal de Broyden
3 %Escolhido como Sistema Teste
4
5 n = length(x); %Definição da ordem do Jacobiano
6 if(n == 1)
7     disp('O Jacobiano do sistema teste não está definido para
8         ordem unitária!');
9 return
10 end
11 J = zeros(n); %Alocação de memória para o Jacobiano
12 J(1,1) = 3-x(1); J(1,2) = -2; %Definição da primeira linha do
13     Jacobiano
14 %Definição da i-ésima linha do Jacobiano para i  $\in \{2, \dots, n-1\}$ 
15 for i=2:n-1
16     J(i,i-1) = -1;
17     J(i,i) = 3-x(i);
18     J(i,i+1) = -2;
19 end
20
21 J(n,n-1) = -1; J(n,n) = 3-x(n); %Definição da última linha do
22     Jacobiano
23 %Return
24 end
```

Listing A.3 – Função Jacobian


```
1 function [J] = jacobian_broyden(x)
2 %Retorna o Jacobino do Sistema Tridiagonal de Broyden
3 %Escolhido como Sistema Teste
4
5 n = length(x); %Definição da ordem do Jacobiano
6 if(n == 1)
7     disp('O Jacobiano do sistema de Broyden não está definido
8         para ordem unitária!');
9 return
10 end
11 J = zeros(n); %Alocação de memória para o Jacobiano
12 J(1,1) = 3-x(1); J(1,2) = -2; %Definição da primeira linha do
13     Jacobiano
14 %Definição da i-ésima linha do Jacobiano para i  $\in \{2, \dots, n-1\}$ 
15 for i = 2:n-1
16     J(i,i-1) = -1;
17     J(i,i) = 3-x(i);
18     J(i,i+1) = -2;
19 end
20
21 J(n,n-1) = -1; J(n,n) = 3-x(n); %Definição da última linha do
22     Jacobiano
23 %Return
24 end
```

Listing A.4 – Função Jacobian-Broyden

```
1
2 %Decomposição LU através de pivotamento parcial com retorno
   de coeficientes
3 %em esquema de armazenamento compacto e esquema de permutação
4
5 function [A,P] = lugauss_fac(A)
6
7 n = length(A);
8 P = zeros(n,1); % Guarda as permutações do pivotamento
   parcial
9
10 for i = 1:n
11     P(i) = i;
12 end
13
14 tol_piv = sqrt(eps); % Pivo deve ser maior que a raiz
   quadrada do menor
15 %número interpretado como não nulo pelo PC.
16
17 for k = 1:(n-1)
18     pv = abs(A(k,k));
19     r = k; % Guarda a linha do pivo;
20     for i = (k+1):n
21         if(abs(A(i,k))>pv)
22             pv = abs(A(i,k)); % Bloco que define o pivô
23             r = i;
24         end
25     end
26
27     if(pv<= tol_piv)
28         fprintf('\n A matriz é singular!');
29         fprintf('\n Parando...');
30         return
31     else
32         if (r~=k)
33             aux = P(k);
34             P(k) = P(r);
35             P(r) = aux;
```

```
36 for j = 1:n
37     aux = A(k,j);
38     A(k,j) = A(r,j); % Permuta as linhas r e j
39 A(r,j) = aux;
40 end
41 end
42 end
43 fori = (k+1):n
44 mik = (A(i,k))/A(k,k);
45 A(i,k) = mik; %Coeficientes da matriz L
46 for j = (k+1):n
47     A(i,j) = A(i,j)-mik*A(k,j);
48 end
49 end
```

Listing A.5 – Função LUGauss-Fac

```
1 function [ A ] = mult( X, Y )
2 [m,n]=size(X);
3 [j,k]=size(Y);
4
5 if(n~=j)
6     error('Dimensões de Matrizes Incompatíveis');
7 end
8
9 A=zeros(m,k);
10 for a=1:m
11     for b=1:k
12         for v=1:j
13             A(a,b)=A(a,b)+(X(a,v)*Y(v,b));
14         end
15     end
16 end
17 end
18 end
```

Listing A.6 – Função Mult

```
1 % Função que resolve um sistema linear, dada a matriz de
  decomposição
2 % LU compacta A, o vetor de permutações e o vetor de
  coeficientes b
3
4 function [x] = lugauss_sol(A,P,b)
5
6     n = length(b);
7     y = zeros(n,1);
8     x = zeros(n,1);
9
10    for i = 1:n
11        r = P(i);
12        c(i) = b(r);
13    end
14
15    for i = 1:n
16        acum = 0;
17        for j = 1:(i-1)
18            acum = acum + A(i,j)*y(j);
19        end
20        y(i) = c(i)-acum;
21    end
22
23    for i = n:-1:1
24        acum = 0;
25        for j = (i+1):n
26            acum = acum + A(i,j)*x(j);
27        end
28        x(i) = (y(i)-acum)/A(i,i);
29    end
30
31    end
```

Listing A.7 – Função LUGauss-Sol

```
1 clc
2 clear all
3
4 %% Script base para execução dos testes e comparações do
   sistema de Broyden resolvido por Newton-Raphson e pela fun
   ção fsolve do MATLAB
5 p=input('Digite a ordem do sistema: ');%Leitura da ordem do
   sistema de Broyden definido pelo usuário;
6 tol = 1e-6; % Define a tolerância (norma infinita do vetor de
   resíduos)
7 iter_max = 800; %Define o número máximo de iterações
   realizadas pelo método de Newton-Raphson
8 time_fsolve = 0; %Conterá o tempo de processamento para soluç
   ão do sistema com fsolve
9 time_newtonraphson = 0; %Conterá o tempo de processamento
   para solução do sistema com Newton-Raphson
10 aux = 0; %variável auxiliar;
11
12 %% Cálculo do grau e padrão de esparsidade da matriz para p
13 x0 = -ones(p,1);
14 spy(jacobian_broyden(x0),'+');
15 title('Padrão de Esparsidade do Jacobiano')
16 sparsity_degree = ((p^2-3*p+2)/p^2)*100;
17
18 %% Mede o tempo utilizado pelo método de Newton-Raphson
19 aux = cputime;
20 [x_nr,norm_res,iter] = newton_raphson(@broyden,@
   jacobian_broyden,x0,tol,iter_max);
21 time_newtonraphson = cputime-aux;
22
23 %% Mede o tempo utilizado pelo fsolve
24 aux = cputime;
25 [x_fs] = fsolve(@broyden,x0);
26 time_fsolve = cputime-aux;
27
28 %% Compara a solução encontrada pelo fsolve e o método de
   Newton-Raphson
29 [x_nr,x_fs]
```

Listing A.8 – Função main

```
1  clc
2  clear all
3
4  p=input('Digite a ordem do sistema: ');
5  x0=-ones(1, p); %Define a solução inicial;
6  tol = 1e-6; % Define a tolerância (norma infinita do vetor de
    resíduos)
7  inter_max = 800; %Define o número máximo de iterações
    realizadas pelo método de Quasi-Newton
8  time_fsolve = 0; %Contém o tempo de processamento para soluçã
    o do sistema com fsolve
9  time_quasinevton = 0; %Conterá o tempo de processamento para
    solução do sistema com Quasi-Newton
10 aux = 0; %variável auxiliar;
11
12 clc
13
14 aux = cputime;
15 [x_qn,iter, n] = quasi2(x0, tol, inter_max);
16 time_quasinevton = cputime-aux;
17
18 aux = cputime;
19 [x_fs] = fsolve(@broyden,x0);
20 time_fsolve = cputime-aux;
```

Listing A.9 – Função mainQuasiNewton

```
1 function [x,norm_res,iter] = newton_raphson(system,jacobian,
    x0,tol,iter_max)
2
3 %Descrição da função: retorna a solução de um sistema não-
    linear  $F(x)=0$ 
4 %utilizando o método de Newton-Raphson
5
6 %Entrada:
7 % system: handle para o sistema base a ser resolvido  $F(x)=0$ 
8 % jacobian: handle para o jacobiano do sistema base
9 % x0: estimativa inicial de solução
10 % tol: tolerância esperada, medida através da norma infinita
    do vetor F de resíduos
11 % iter_max: número máximo de iterações que podem ser
    realizadas pela função
12
13 %Saída:
14 % x: solução do sistema
15 % norm_res: norma do vetor de resíduos
16 % iter: número de iterações realizadas
17
18 n = length(x0);
19 x = x0;
20 iter = 0;
21 res = feval(system,x);
22 norm_res = norm_inf(res);
23
24 while(iter<iter_max&&norm_res>tol)
25 J = feval(jacobian,x);
26 [A,P] = lugauss_fac(J);%Fatora o jacobiano em LU com
    pivotamento parcial em armazenamento compacto
27 dx = lugauss_sol(A,P,-res);
28 x = sum_mat(x,dx);
29 res = feval(system,x);
30 norm_res = norm_inf(res);
31 iter = iter+1;
32 end
```

Listing A.10 – Newton-Raphson


```

1 function [x,k, n]=quasi2(x, tol, ninter_max)
2 % O metodo da secante tem por finalidade encontrar
3 % a solucao do sistema nao linear de equacoes da
4 % forma F(x)=0
5
6 %o numero de iteracoes inicia com valor zero
7 k=0;
8 %atribuicao de valor zero a variavel de controle
9 control=0;
10 %Bk recebe o valor da jacobiana de F(x) em x
11 B=jacobian(x);
12 [B,P] = lugauss_fac(B);
13 %especificando quando o loop finaliza
14 while (control==0)&&(k<=ninter_max)
15 %determinando o valor de F(x) no ponto x em questao
16 f=broyden(x);
17 %Bks=-f;
18 s = lugauss_sol(B,P,-f);
19 %armazenando o valor de x_k
20 a=transp(s);
21 xp=sum_mat(x,a); %
    %%%%%%%%%%%%%%%%%%%%%%%%%%%%%%%%%%%%%%%%%%%%% soma(x
    ,a) %%%%%%%%%%%%%%%%%%%%%%%%%%%%%%%%%%%%%%%%%5
22 %determinando o valor de F(x) no ponto xp
23 f2=broyden(xp);
24 %a variavel y recebe a diferenca de F(xp)-F(x)
25 y=sub(f2, f);
26 %atualizacao da matriz Bk
27 %B=B+((y-B*s)*a)/(a*s)
28 dum1=mult(B, s);
29 dum2=sub(y, dum1);
30 dum3=mult(dum2, a);
31 dum4=mult(a,s);
32 dum=dum3/dum4;
33 B=sum_mat(B, dum);%
    %%%%%%%%%%%%%%%%%%%%%%%%%%%%%%%%%%%%%%%%%%%%% soma(B
    ,dum) %%%%%%%%%%%%%%%%%%%%%%%%%%%%%%%%%%%%%%%%%5
34

```

```
35 %testando a variavel de controle
36 if norm_inf(xp-x)<=tol
37     control=1;
38 end
39     n = norm_inf(xp-x);
40 %atualizando x
41     x=xp;
42 %atualizando o numero de iteracoes
43     k=k+1;
44 end
```

Listing A.11 – Função Quasi2

```
1 function [ A ] = sub( X, Y )
2 [m,n]=size(X);
3 [j,k]=size(Y);
4
5 if(m~=j) || (n~=k)
6     error('Dimensões de Matrizes Incompatíveis');
7 end
8
9 A=zeros(m,n);
10
11 for a=1:m
12     for b=1:n
13         A(a,b)=X(a,b)-Y(a,b);
14     end
15 end
16 end
```

Listing A.12 – Função Sub

```
1 % Função que soma duas matrizes
2
3 function C = sum_mat(A,B);
4 [M,N] = size(A);
5 [O,P] = size(B);
6
7 if(N~=P || M ~=0)
8 error('As matrizes não podem ser somadas! Dimensões incompatí
   veis');
9 else
10     C = zeros(M,N);
11     for i=1:M
12         for j=1:N
13             C(i,j)=A(i,j)+B(i,j);
14         end
15     end
16 end
```

Listing A.13 – Função Sum-Mat

```
1
2 function [ b ] = transp(v)
3 [m,n]=size(v);
4 b=zeros(n,m);
5
6 for i=1:n
7     for j=1:m
8         b(i,j)=v(j,i);
9     end
10 end
11 end
```

Listing A.14 – Função Transp